

Perovskit Yapıdaki Kristallerde İzotop Yerleştirmenin Etkisi

Bahattin ERDİNÇ¹

¹Yüzüncü Yıl Üniversitesi, Fen Edebiyat Fakültesi, Fizik Bölümü, 65080 Van

Özet: Perovskit yapıdaki ferroelektrikde yumuşak optik fonona karşılık gelen kuvvet sabiti üzerine izotop etkisi teorik olarak incelenmiştir. Sonlu sıcaklıkta Matsubara green fonksiyonu formalizmında daha yüksek dereceli köşe (vertex) terimli kuantum mekaniksel elektron-fonon etkileşme modeli kullanılarak: yumuşak optik fonon frekansının teorisini, ferroelektrik faz geçişile ilişkili olan enine optik fonona karşılık gelen kuvvet sabitinin hem sıcaklığı hemde enine optik kipi indirgenmiş kütlesine bağlılığı incelenmiştir.

Anahtar Kelimeler: İndirgenmiş kütle, Frekans, Geçiş sıcaklığı, Yumuşak fonon

Effect of Isotope Invenstigation in Perovskite Type Crystals

Abstract: The isotope effect on the force constant corresponding to soft optic phonon in perovskite -type ferroelectrics is discussed theoretically. Using quantum-mechanical electron-phonon interaction model with a higher order vertex term in matsubara green function formalism at finite temperature; the theory of the frequency of soft optic phonon, both temperature and reduced mass of the soft optic phonon dependency of the force constant corresponding to soft optic phonon related to the ferroelectric phase transition are discussed.

Key Words: Reduced mass, Frequency, Transition temperature, Soft phonon

Giriş

Ferroelektrik kristallere izotop yerleştirmenin bu kristallerin özelliklerinde önemli değişimler meydana getirdiği ve bu kristallerin fizığının daha iyi anlaşılmasına yol açtığı bilinmektedir. Bu, özellikle hidrojen bağlı ferroelektriklerde gözükmemektedir. Hidrojen bağlı ferroelektriklerde iki izotop arasındaki (hidrojen ve döteryum) büyük kütle farkından dolayı döteryum yerleşimi çok büyük etkilere yol açmaktadır.

Perovskit yapıdaki ferroelektriklerin fizikalı özellikleri, izotop yerleştirme sonucunda etkilenirler. Fakat bu etkilenmenin derecesi küçütür. Ancak, Itoh ve ark. tarafından elde edilen bulus önemli bir gelişme sağlamıştır (Itoh ve ark., 1999). SrTaO₃'nın kuantum paraelektrikliği birçok araştırmacının çok ilgisini çekmiştir, çünkü paraelektrik fazın kuantum mekaniksel kararlılığını, dielektrik malzemelerde kuantum etkinin ilk örneği olarak ifade edilmiştir. Son zamanlarda, düşük sıcaklıklarda SrTaO₃ kristalinde doğal ¹⁶O atomlarının yerine izotopu ¹⁸O'ye değişmesi ferroelektrikliği indüklediği gösterilmiştir (Bussmann ve ark., 2000; Ruiping ve Itoh, 2001; Kvyatkovskii, 2000; Konsin ve Sorkin, 2003).

Slater, perovskit yapıdaki ferroelektriklerinin Curie noktasında meydana gelen dielektrik bozulmayı bu yapıdaki atomlarının bir çifti arasında büyük Lorenz faktörünün bir sonucu olduğunu söylemiştir (Slater, 1950). Değişik yazarlar, perovskit yapıdaki ferroelektriklerin nedenini açıklamak için sıcaklığı bağlı yumuşak enine optik kipi ileriye sürmüştür. Daha sonra, sıcaklığı bağlı yumuşak enine optik kip kızılıtesi yansımıya ölçümleriyle ve elastik olmayan nötron saçılma deneyleriyle gözlenmiştir (Scott, 1974). Ferroelektrikliğin daha detaylı ve daha nicel incelenmesi için bu temel düşünceler önemli basamaklar teşkil etmiştir.

Bu çalışmada perovskit kimyasal formüllü perovskit yapıdaki ferroelektriklerdeki faz geçişlerinde yumuşak optik fonona karşılık gelen kuvvet sabitinin \tilde{k}_f , üzerine

izotop etkisi teorik olarak incelenmiştir. Sonlu sıcaklıkta yüksek dereceli köşe terimli kuantum-mekaniksel elektron-fonon etkileşme yöntemiyle yumuşak optik fononun frekansının teorisini açıklanmıştır. Yine bu model yardımıyla ferroelektrik faz geçişile ilişkili olan enine optik fonona (yumuşak optik fonon) karşılık gelen kuvvet sabitinin hem sıcaklığı hem de atomik kütleye bağlılığı hesaplanmıştır. Ayrıca, bu kuvvet sabitinin yapısı ve mikroskopik doğası incelenmiştir.

Materyal ve Yöntem

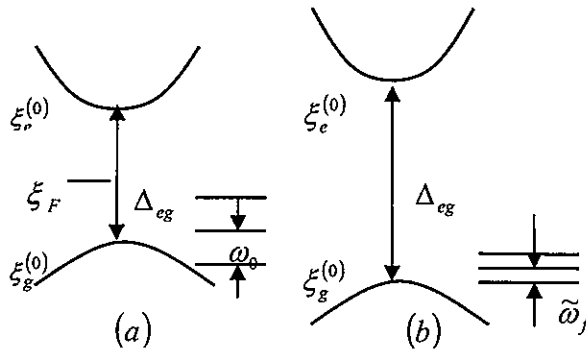
Dielektrik malzemelerde yapısal faz geçişleri üzerine hidrojen olmayan izotop etkilerinin incelenmesi fonon dinamikleriyle ilişkili olan geçişlerin mekanizmalarını açıklamak için çok önemli olmuştur. Dielektrik malzemelerde faz geçişlerinin değişik tipleri üzerine hidrojen olmayan izotop etkileri rapor edilmiştir. BaTiO₃ (ferroelektrik) ve PbZrO₃ (antiferroelektrik) için ferroelektrik veya antiferroelektrik faz geçişleri üzerine izotop etkileri gösterilmiştir (Hidaka ve Oka, 1990 ; Shigemetsu ve ark., 2000).

Fröhlich Hamiltoniyeninden yararlanılarak elektron-fonon etkileşmesi durumunda sistemin Hamiltoniyen;

$$H = \sum_k (\xi_{e,k}^{(0)} c_{e,k}^+ c_{e,k} + \xi_{g,k}^{(0)} c_{g,k}^+ c_{g,k}) + \hbar\omega_0(a^+ a + 1/2) + \sum_k \lambda_k (a^+ + a)(c_{e,k}^+ c_{g,k} + c_{g,k}^+ c_{e,k}). \quad (1)$$

şeklinde tanımlanır. Burada $\xi_{e,k}^{(0)}$ ve $\xi_{g,k}^{(0)}$ sırasıyla k dalga vektörüyle perturbe olmamış uyarılan durumun elektronik band enerjisi ve temel durumun band enerjisidir. $c_{e,k}^+$ ve $c_{e,k}$; $c_{g,k}^+$ ve $c_{g,k}$; a^+ ve a sırasıyla uyarılmış durumun, taban durumun ve fononun yaratma ve yok etme operatörleridir. Denklem 1'deki Hamiltoniyen'in parametreleri ve terimlerin anımları literatürde verilmiş ve incelenmiştir (Hidaka, 1993). Bundan dolayı, bu çalışmada bu terimler detaylı bir şekilde incelenmemiştir.

Elektron-fonon teorisine göre, perovskit oksitlerde ferroelektriklik, oksijen $2p$ (valans bandı) durumları ile titanyum (Ti) veya niyobium (Nb) $3d$ (iletim bandı) durumlarının dinamik hibridizasyonu tarafından oluşmaktadır. Bu nedenle, geniş aralıklı dielektriklerde elektron-fonon etkileşme modeli Şekil 1'de gösterilmektedir.



Şekil 1. Elektron-fonon etkileşme modeli.

Elektron ve fononun perturbe olmamış Green fonksiyonu sırasıyla $G^{(0)}$ ve $D^{(0)}$ şeklinde tanımlanmıştır (Mahan, 1986). Matsubara formalizminde elektron ve fononun Green fonksiyonları;

Şekil 1a etkileşmesiz durumu gösterirken, Şekil 1b etkileşmeli durumu göstermektedir. Elektron-fonon etkileşmesi esnasında Şekil 1b'deki iletim ve valans band aralığı genişlerken, fononun frekansı azalmaktadır. ξ_F Fermi seviyesidir ve taban durumu elektronik seviyesi $\xi_g^{(0)}$ ile uyarılmış durum elektronik seviyesi $\xi_e^{(0)}$ nin tam ortasındadır. Burada taban durumun elektronik seviyesi $\xi_g^{(0)}$, Fermi seviyesinden ξ_F çok düşük olduğu ve uyarılmış durumun elektronik seviyesi ise $\xi_e^{(0)}$ Fermi seviyesinden çok daha büyük olduğu kabul edilmektedir. Burada Fermi seviyesi sıfır olarak ($\xi_F = 0$) ele alınmaktadır.

Tüm hallerde yüksek sıcaklık fazı daha yüksek simetriye sahip olmaktadır. Sıcaklık kritik sıcaklığa doğru azaldıkça yumuşak kipe eşlik eden yerdeğiştirme büyümeye başlamaktadır. Dolayısıyla, iyonik katıldaki pozitif ve negatif iyonların enine optik yumuşak kipine eşlik eden, zıt yönlerdeki yerdeğiştirmeleri düşük sıcaklık fazının kalıcı bir elektriksel kutuplanmasına sebep olmaktadır (Şekil 1).

$$G_{g,e}^{(0)} = \frac{1}{i\omega - \xi_{g,e}} \quad (2)$$

$$D^{(0)}(\omega) = \frac{1}{\omega - \omega_0 + i\delta} - \frac{1}{\omega + \omega_0 - i\delta}$$

şeklinde verilir. Burada g ve e sırasıyla temel durumu ve uyarılmış durumu işaret etmektedir. $\omega = \pi(2n+1)/\beta$

elektronların Matsubara frekansı, $\omega_0 = 2\pi n / \beta$ fononların Matsubara frekanslarıdır ve n bir tamsayıdır.

Etkileşen fononlar için Dyson denklemi;

$$D(\omega) = \frac{2\omega_0}{\omega^2 - \omega_0^2 - 2\omega_0 P(\omega)} \quad (3)$$

şeklinde tanımlanır (Mahan, 1986). Burada P fononun öz enerjisidir.

Bulgular ve Tartışma

Yumuşak optik fononun indirgenmiş kuvvet sabitinin kuantum mekaniksel teorisi: Kuantum mekaniksel elektron-fonon etkileşmesinin genel ilkeleri doğrultusunda yumuşak fotonun kuvvet sabiti iki kısma ayrılmıştır. Birincisi, sıfır sıcaklıkta yumuşak optik fononun kuvvet sabiti sıcaklıktan bağımsız ve atomik kütleye bağlı olduğu gösterilmiştir. İkincisi, sonlu sıcaklıkta optik fononların anharmonikliğinden meydana gelen kuvvet sabitinin hem kütleye hem de sıcaklığına bağlı olduğu ifade edilmiştir.

Ferroelektrik faz geçişile ilişkili olan enine optik fonona karşılık gelen genelleştirilmiş kuvvet sabitinin, $k_f(T)$, mikroskopik doğası ve yapısı incelenmiştir. Düşük sıcaklık aralığında farklı perturbasyonların varlığı, kuantum etkinin gerekliliğini ortaya koymaktadır. Örgü dinamiği teorisinin genel ilkeleri doğrultusunda genelleştirilmiş kuvvet sabiti, $k_f(T)$, harmonik kuvvet sabitleri k_h ve sıcaklık bağımlı anharmonik terimlerin $k_{ah}(T)$ toplamı olarak yazılmaktadır. Keyfi bir polar enine optik fonon kipinin harmonik kuvvet sabiti, k_h , kısa erimli etkileşmeler k^{sr} ve hücreler arası dipol-dipol etkileşmelerin k^{dd} katısından oluşmaktadır.

Ferroelektrik faz geçisi ile ilişkili enine optik fonona karşılık gelen genelleştirilmiş kuvvet sabiti;

$$k_f(T) = \mu_{TO} \omega_f^2(T) = k_h + k_{ah}(T) \quad (4)$$

$$= k^{sr} + k^{dd} + k_{ah}(T)$$

şeklinde yazılabilir. Burada, μ_{TO} yumuşak optik fononun veya enine optik fononun (TO) indirgenmiş kütlesi, ω_f yumuşak optik fononun frekansıdır ve sıcaklıktan bağımsız harmonik kuvvet sabiti $k_h = k^{sr} + k^{dd}$ şeklinde yazılmıştır.

Ferroelektrik faz geçisinin, yumuşak optik fonon kavramıyla ilişkili olmasından dolayı, örgüdeki bazı optik fononların normal titreşimleri kristali kararsız duruma soktuğu söyleyenbilir. O zaman, bu optik fononlar belirli kararsız fononları (yumuşak optik fonon) oluştururlar. Bu yumuşak optik fononun frekansı ferroelektrik faz geçiş sıcaklığında neredeyse sıfır olmaktadır. Bunun anlamı, bu yumuşak optik fonona karşılık gelen titreşimin faz geçiş sıcaklığında donmuş olması ve sonlu bir dipol moment değerine sahip, simetrisi farklı olan yeni bir yapı

üretmesidir. Yumuşak fononun frekansı üzerine hem sıcaklığın hem de izotop yerleştirmenin etkisinin varlığı, sonlu sıcaklıkta yüksek dereceli köşe terimli kuantum mekaniksel elektron-fonon etkileşme yöntemiyle bulunabilir.

Ferroelektrik faz geçişine sebep olan yumuşak optik fononun kuvvet sabitinin hem sıcaklığa hem de atomik kütleye bağlılığı hesaplanırken, sıcaklığa bağlı Matsubara Green fonksiyonundan faydalanyılmıştır. (Mahan, 1986 ; Kadanoff ve Baym, 1962).

Etkileşme teriminde potansiyel (V) yeterince küçük alınırsa, iterasyon sonucunda sonlu sıcaklıkta fononun öz enerjisi, harmonik ve harmonik olmayan terimlerin toplamı şeklinde yazılabilir;

$$P = P^{(0)} + P^{(1)} + P^{(2)} + \dots \quad (5)$$

Genellikle, $P^{(1)} + P^{(2)} + \dots$ terimine köşe terimi denilmektedir. Aslında, denklem 5'in sağındaki ifadeler sırasıyla fonon öz enerjisini sıfırıncı, birinci ve ikinci köşe terimlerini temsil etmektedirler. Yumuşak optik fononun kuvvet sabitinin üzerine izotop yerleştirmenin etkisinin önemi, köşe terimlerinden anlaşılır.

Fononun öz enerjisine harmonik katkı $P^{(0)}$;

$$P^{(0)}(i\omega) = \frac{2\lambda^2}{\beta} \sum_{\omega} G_g^{(0)}(\xi_g, i\omega) \times G_e^{(0)}(\xi_e, i\omega + i\omega_0) \quad (6)$$

olarak yazılır. Burada λ etkileşme katsayısıdır ve atomik kütleye bağlıdır, ve değeri $\lambda \approx 1/(\omega_0 \mu)^{1/2}$ olarak değişmektedir (Konsin ve Sorkin, 2003).

Benzer şekilde fonon öz enerjisinin birinci köşe terimi, $P^{(1)}$, aşağıdaki gibi hesaplanır;

$$P^{(1)}(i\omega) = -\frac{2\lambda^2}{\beta} \sum_{\omega} G_g^{(0)}(\xi_g, i\omega) G_e^{(0)}(\xi_e, i\omega + i\omega_0) D^{(0)}(i\omega) \quad (7)$$

$$\times \frac{\lambda^2}{\beta} \sum_{\omega'} G_g^{(0)}(\xi_g, i\omega') G_e^{(0)}(\xi_e, i\omega' - i\omega_0) D^{(0)}(i\omega)$$

İndirgenmiş fonon frekansının $\omega(T)$ sıcaklığa bağlılığının hesaplanması için denklem 3'deki payda sıfıra eşitlenip ve daha sonra denklem 6 ve 7 kullanılarak;

$$\omega^2 = \frac{\omega_0^2 |A|}{T_c} (T - T_c) \quad (8)$$

$$A = \left(\frac{4\lambda^2}{\omega_0 \Delta_{eg}} - \frac{8\lambda^4}{\omega_0 \Delta_{eg}^3} - 1 \right)$$

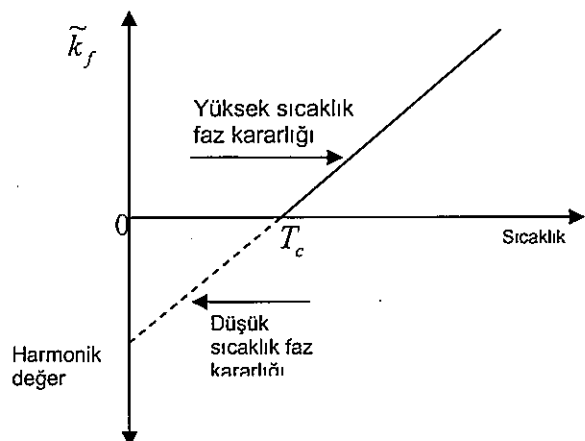
şeklinde elde edilir. Burada, $\Delta_{eg} = \xi_e - \xi_g$ band aralığıdır.

Sonlu sıcaklıkta enine optik fonona karşılık gelen genelleştirilmiş kuvvet sabitinin, k_f , yumuşak optik fononun sıcaklığa bağlı genelleştirilmiş frekansının karesi, ω_f^2 , ile indirgenmiş kütlesinin, μ , çarpımı şeklinde elde edilebilir. Bu durumda;

$$k_f = \mu \omega_f^2 = \frac{k_0 |A|}{T_c} (T - T_c) \quad (9)$$

ifadesi bulunur. Burada, k_f 'nin sıcaklıkla değişmesi ögünün ısisal genleşmesi ve diğer anharmonik örgü etkileşmelerinden kaynaklandığı söylenir.

Denklem 9'e dayanılarak yumuşak kipin kuvvet sabitinin sıcaklığa bağlılığı Şekil 2'de verilmiştir. Şekil 2'de k_f 'nın sıcaklık bağlılığı verilmiştir. Sıcaklık arttıkça k_f değeri artmaktadır ve daha az negatif olmaktadır. En sonunda k_f 'nın değeri sıfır ulaşmaktadır ve bu noktanın üzerindeki sıcaklarda yüksek simetri fazı kararlı kalmaktadır. k_f 'nın sıfır olduğu sıcaklık ikinci mertebeden faz geçisi olarak tanımlanmaktadır.



Şekil 2. Yumuşak kip frekansının sıcaklığa bağlı gösterimi.

Şekil 2 tersine çevrilerek incelenirse, yüksek sıcaklık fazından sıcaklığı düşürerek, frekansı azalan bir fonona sahip olunur ve sonunda fononun frekansı sıfıra ulaşır. Bu noktada, düşük simetrik yapı yerdeğişimi faz geçisi sergilemektedir ve fonon frekansı yumuşamaktadır. Çünkü, fonon frekansının değeri sıcaklığı düşürmekle yumuşamaktadır. Bu fonon yumuşak fonon olarak adlandırılır.

Sonuç

Bu çalışmada, sonlu sıcaklıkta yüksek dereceli köşe terimli kuantum mekaniksel etkileşme modeli kullanılarak: Ferroelektrik faz geçişine neden olan yumuşak optik fonona karşılık gelen kuvvet sabitinin, sonlu sıcaklıkta sıcaklıktan bağımsız ve sıcaklığa bağlı olan iki terimin toplamı şeklinde elde edilmiştir. Ferroelektriğe sebep olan yumuşak enine optik fononun kuvvet sabitinin hem sıcaklığa hem de atomik kütleye bağlı olduğu bulunmuştur. Faz geçisi ile ilişkili olan kuvvet sabitinin, yumuşak optik fononun indirgenmiş kütlesiyle doğru orantılı olduğu elde edilmiştir. Yani, hafif izotopla zenginleştirilmiş örgütün kuvvet sabiti, daha ağır izotopla zenginleştirilmiş örgütün kuvvet sabitinden daha küçük olduğu bulunmuştur. Çünkü hafif izotopla zenginleştirilmiş

örgü, ağır izotopla zenginleştirilmiş örgüden daha fazla sıfır nokta sapmaya sahip olmaktadır.. Bundan dolayı, genelleştirilmiş kuvvet sabiti hem sıcaklıkla hem de indirgenmiş kütleyle doğru orantılı olarak değişmektedir.

Kaynaklar

- Bussmann, A. H., Buttner, H., and Bishop, A. R., 2000. Stabilization of Ferroelectricity in Quantum Paraelectrics by Isotopic Substitution. *J.Phys.Con.Mat.*, 12: L115-L120.
- Hidaka, T., Oka, K., 1990. Nonhydrogen Isotope Effects on Structural Phase Transitions in Dielectric Crystals. *Phys. Rev. B*, 42: 8295-8304.
- Hidaka, T., 1993. Theory of The Non-hydrogen-Isotope Effect on Displacive-Type Ferroelectricity. *Phys. Rev. B*, 48: 9313-9320.
- Itoh, M., Wang, R., Inaguma, Y., Yamaguchi, T., Shan, Y. J., and Nakamura, T., 1999. Ferroelectricity Induced by Oxygen Isotope Exchange in Strontium Titanate Perovskite. *Phys. Rev. Lett.*, 82: 3540-3543.
- Konsin, P., Sorkin, B., 2003. Microscopic Electron-Phonon Theory of Ferroelectricity in Perovskite Oxides. *Ferroelectrics*, 270: 399-404.
- Kvyatkovskii, G. E., 2000. Quantum Effects in Incipient and Low-Temperature Ferroelectrics. *Phys. Solid State*, 43: 1401-1419.
- Mahan, G. D., 1986. Many Particle Physics. Plenum Press, New York.
- Rulping, W., Ve Itoh, M., 2001. Suppression of the quantum fluctuation in ^{18}O -enriched strontium titanate. *Phys. Rev. B*, 64: 174104.
- Shigematsu, H., Nakadaira, H., Futatsugi, T., and Matsui, T., 2000. Ti Isotope Effect on Ferroelectric Phase Transition of PbTiO_3 Studied by Heat Capacity Measurement. Elsevier, *Thermochimica Acta*, 352-353.
- Slater, J. C., 1950. The Lorentz Correction in Barium Titanate. *Phys. Rev.*, 78: 748-761.
- Scott, J. F., 1974. Soft Mode Spectroscopy: Experimental Studies of Structural PhaseTransitions. *Rev. Mod. Phys.*, 46: 83-128.